

# ОСОБЕННОСТИ ТЕРМИЧЕСКОЙ ДЕГРАДАЦИИ СВЕРХПРОВОДЯЩЕЙ ТЕКСТУРИРОВАННОЙ КЕРАМИКИ $\text{YBa}_2\text{Cu}_3\text{O}_{7-x}$

*М.С.Пайзуллаханов, М.У.Каланов, В.М.Рустамова*

Известно, что керамические образцы  $\text{YBa}_2\text{Cu}_3\text{O}_{7-x}$  являются чувствительными к воздействию температуры, воды и углекислого газа [1–3]. В [4] изучено влияние закалки и низкотемпературного отжига на электросопротивление ( $\rho$ ) и  $T_c$  сверхпроводящей керамики  $\text{YBa}_2\text{Cu}_3\text{O}_{7-x}$ . Обнаружено существенное изменение  $\rho$ ,  $T_c$  и  $\Delta T$  в интервале температур закалки  $T_s = 550$ –800 К. Роли текстурированности в процессах термической деградации должного внимания уделено не было. Поэтому исследование эффектов термической обработки в температурном интервале 20–700°C текстурированной керамики  $\text{YBa}_2\text{Cu}_3\text{O}_{7-x}$  представляется актуаль-

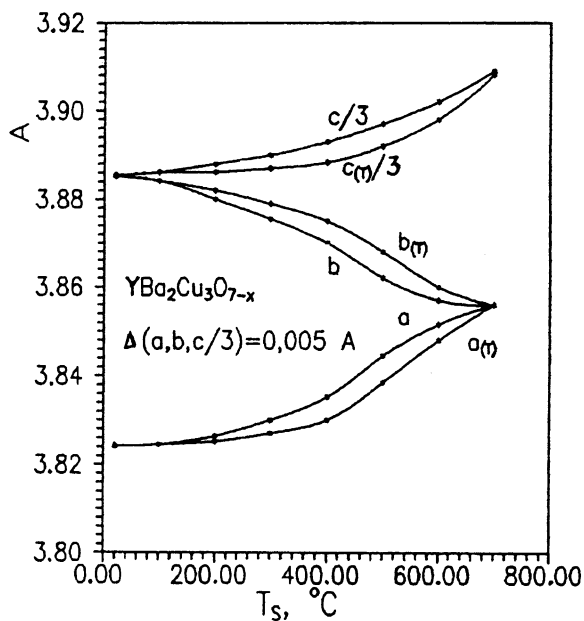


Рис. 1. Зависимости параметров решетки  $a$ ,  $b$ ,  $c/3$  от температуры обработки  $T_s$  изотропных и текстурированных (с меткой “т”) образцов керамики  $\text{YBa}_2\text{Cu}_3\text{O}_{7-x}$ .

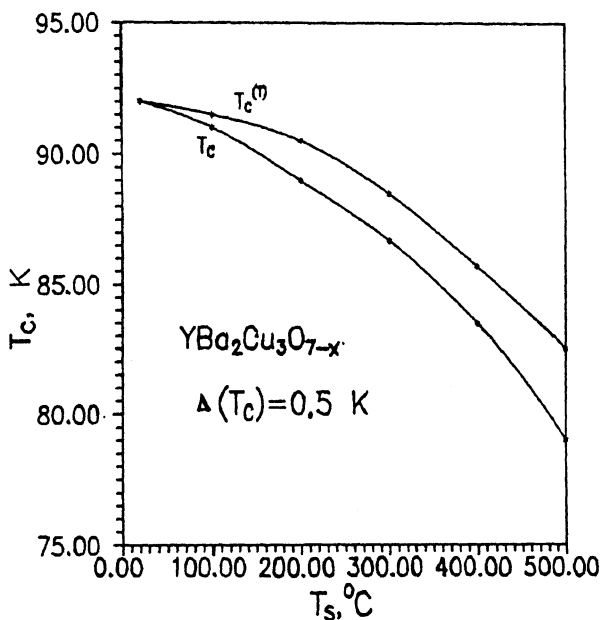


Рис. 2. Зависимости температуры сверхпроводящего перехода  $T_c$  от температуры обработки  $T_s$  изотропных и текстурированных (меткой "т") образцов керамики  $\text{YBa}_2\text{Cu}_3\text{O}_{7-x}$ .

ным. Нами изготавливались изотропные и текстурированные образцы  $\text{YBa}_2\text{Cu}_3\text{O}_{7-x}$  [5]. Степень текстурированности составляла 0.60 [6]. Температура сверхпроводящего перехода для исходных образцов составляла 92 К при ширине 2 К, содержание кислорода  $\sim 6.92$ . Образцы подвергались термообработке на воздухе в интервале температур 100–700°C с шагом 100°C, включающей нагрев со скоростью 100°C/мин до температуры обработки, выдержку в течение 0.5 ч и заливание в жидкое азоте.

Фазовый состав, структурные и электрофизические параметры образцов (как исходных, так и обработанных) приведены в таблице. На рис. 1 и 4 показаны зависимости параметров решетки  $a$ ,  $b$ ,  $c/3$ , удельного сопротивления  $\rho$  от температуры обработки  $T_s$  для изотропных и текстурированных (с меткой "т") образцов. Зависимости температуры и ширины сверхпроводящего перехода ( $T_c$  и  $\Delta T$ ) от  $T_s$  приведены на рис. 2 и 3 соответственно.

Из таблицы видно, что фазовый состав образцов как изотропных, так и текстурированных, почти не меняется после термической обработки вплоть до 700°C. Объемная доля всех примесных фаз (как результат термодеградации) в изотропных образцах в совокупности не превышает

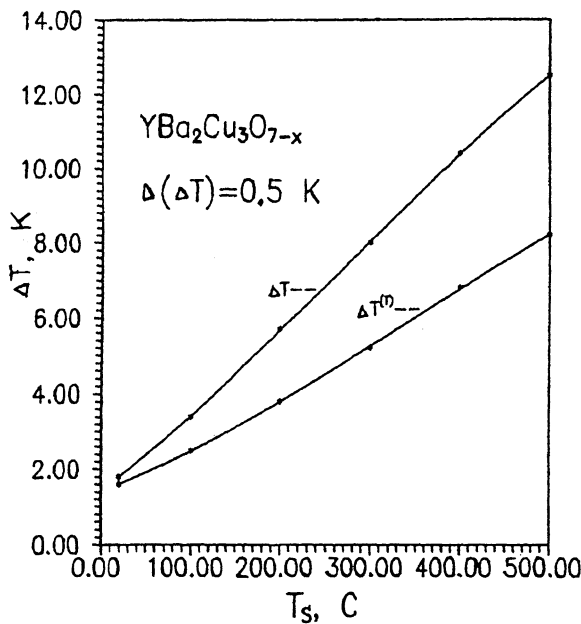


Рис. 3. Зависимости ширины сверхпроводящего перехода  $\Delta T$  от температуры обработки  $T_s$  изотропных и текстурированных (с меткой "т") образцов керамики YBa<sub>2</sub>Cu<sub>3</sub>O<sub>7-x</sub>.

ет 6% (для текстурированных — 2.5%) даже после термической обработки при 700°C. С увеличением  $T_s$  наблюдается рост значений отношения интенсивностей дублетов и ( $I_{012}/I_{102}$ ), характеризующего изменение содержания кислорода на приповерхностных слоях и межзеренных зонах объема. Увеличение же  $x$  по мере роста  $T_s$  свидетельствует об уменьшении содержания кислорода в элементарной ячейке YBa<sub>2</sub>Cu<sub>3</sub>O<sub>7-x</sub>. Особенно большое увеличение  $x$  наблюдается при температуре 400°C и выше на изотропных образцах.

На зависимостях параметров решетки  $a$ ,  $b$ ,  $c/3$  от  $T_s$  наблюдается немонотонное изменение их по мере роста температуры обработки (рис. 1). Их характер различен на двух температурных интервалах, а именно слабый на I и сильный на II. Протяженность I интервала в зависимости от типа образцов составляет 20–200°C (для изотропных) и 20–400°C (для текстурированных). Уменьшение содержания кислорода (см. таблицу) приводит к изменениям параметров решетки, в особенности параметра  $c/3$ . По мере дальнейшего роста температуры обработки ( $T_s \rightarrow 700^\circ\text{C}$ , второй температурный интервал) наблюдаются сильные изменения содержания кислорода, параметров решетки  $a$ ,  $b$ ,  $c/3$ . При температуре  $T_s = 700^\circ\text{C}$  наблюдается  $x = 0.45$  и  $a \sim b$  сви-

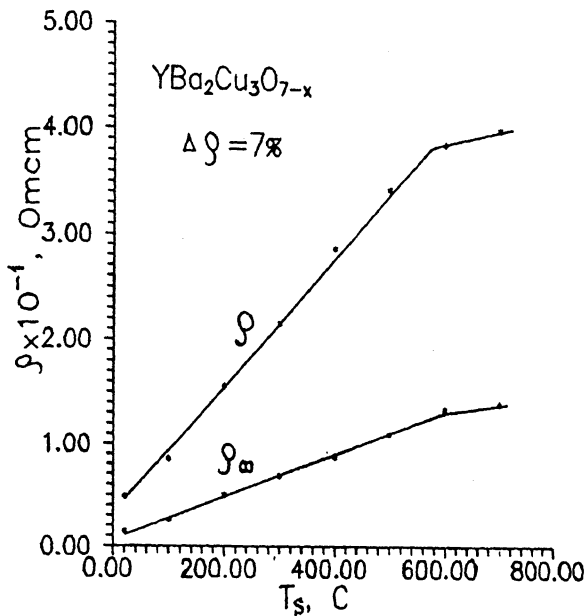


Рис. 4. Зависимости удельного электросопротивления  $\rho$  от температуры обработки  $T_s$  изотропных и текстурированных (с меткой "т") образцов керамики  $\text{YBa}_2\text{Cu}_3\text{O}_{7-x}$ .

действующие о переходе системы из орторомбической симметрии в тетрагональную.

Из рис. 2 и 3 видно, что с ростом  $T_s$  наблюдается немонотонное уменьшение  $T_c$  и почти линейный рост  $\Delta T$ . Рост  $\Delta T$  хорошо описывается выражением  $\Delta T = k\Delta T_0$ , где  $\Delta T_0$ ,  $\Delta T$  — ширины сверхпроводящего перехода до и после термической обработки при  $T_s$ ,  $k$  — коэффициент пропорциональности, равный  $0.016 \cdot \text{град}^{-1}$  для изотропных и  $0.007 \cdot \text{град}^{-1}$  для текстурированных образцов. Что касается  $\rho(T_s)$ , то она линейна в интервале  $100\text{--}600^\circ\text{C}$  и имеет плато в области  $600\text{--}700^\circ\text{C}$  для обоих типов образцов (рис. 4). Линейный рост  $\rho$  описывается уравнением  $\rho = k\rho_0$ , где  $\rho_0$  и  $\rho$  — удельные сопротивления в нормальном состоянии до и после термической обработки при  $T_s$ ,  $k$  — коэффициент пропорциональности, равный  $4.24 \cdot 10^{-2} \cdot \text{град}^{-1}$  для изотропных и  $1.16 \cdot 10^{-2} \cdot \text{град}^{-1}$  для текстурированных образцов. Увеличение  $\rho$  по мере роста  $T_s$  может быть связано с уменьшением подвижности носителей тока, обусловленным дополнительным рассеянием на новообразованных термообработкой центрах.

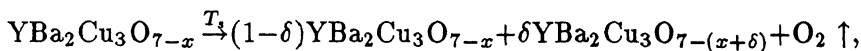
Полученные результаты могут быть объяснены в рамках следующего предположения. В течение кратковре-

Структурные и сверхпроводящие параметры образцов  
 $\text{YBa}_2\text{Cu}_3\text{O}_{7-x}$ , обработанных при различных температурах

N	Типы образцов							
	Изотропные				Текстурированные			
	$T_s$ , °C	Состав	$\frac{I_{012}}{I_{102}}$	$x$	$T_s$ , °C	Состав	$\frac{I_{012}}{I_{102}}$	$x$
1	20	1-2-3	0.64	0.06	20	1-2-3	0.62	0.06
2	100	1-2-3	0.70	0.07	100	1-2-3	0.63	0.06
3	200	1-2-3	0.72	0.09	200	1-2-3	0.65	0.07
4	300	1-2-3	0.78	0.11	300	1-2-3	0.70	0.08
		BaCO <sub>3</sub>						
		0.5*, 02*						
		CuO*						
5	400	1-2-3	0.87	0.16	400	1-2-3	0.76	0.09
		BaCO <sub>3</sub>						
		0.5*, 02*						
		CuO*						
6	500	1-2-3	0.94	0.22	500	1-2-3	0.82	0.15
		BaCO <sub>3</sub>				BaCO <sub>3</sub> *		
		CuO, CuO*						
		0.5*, 02*						
7	600	1-2-3	1.22	0.32	600	1-2-3	0.96	0.26
		BaCO <sub>3</sub>				BaCO <sub>3</sub>		
		CuO				CuO		
		0.5*, 02*				05*, 02*		
8	700	1-2-3	1.56	0.46	700	1-2-3	1.38	0.44
		BaCO <sub>3</sub>				BaCO <sub>3</sub>		
		CuO				CuO		
		05, 02				0.5*, 02*		

П р и м е ч а н и е. Символ (\*) означает малое содержание указанных фаз, что определялось по следам таких фаз на рентгенограмме. 05 соответствует фазе  $\text{Y}_2\text{Ba}_2\text{Cu}_3\text{O}_5$ , а 02 —  $\text{Ba}_2\text{CuO}_2$ .

менной (0.5 ч) высокотемпературной обработки в керамических образцах  $\text{YBa}_2\text{Cu}_3\text{O}_{7-x}$  протекает квазихимический процесс, описываемый уравнением



где  $\delta$  — параметр квазихимического процесса, который характеризует относительную долю образовавшейся фазы. Поскольку в приповерхностном слое и на границах гранул

ионы кислорода находятся в слабосвязанном состоянии, вероятность указанного процесса в этих областях достаточно большая. В результате термостимулированная десорбция кислорода приводит к образованию фазы с уменьшенным содержанием кислорода, преимущественно на приповерхности и границах гранул.

В текстурированных образцах, в отличие от изотропных, преимущественная ориентация кристаллитов укрепляет связь между ними и приводит к увеличению плотности материала с прочными межзеренными границами. Концентрация пор в текстурированных образцах гораздо меньше, чем в изотропных. В силу этого степень деградации текстурированных образцов в первом температурном интервале намного понижена по сравнению с изотропными. Во второй стадии темп деградации независимо от микроструктуры сильно возрастает, охватывая все больший объем сверхпроводящих зерен, и при  $T_s = 700^\circ\text{C}$  зерна уже не являются сверхпроводящими.

#### Список литературы

- [1] Nakada J., Sato S. // Jap. J. Appl. Phys. 1987. V. 26. N 5. P. L697–L698.
- [2] Yan M.F., Barns R.L. // Appl. Phys. Lett. 1987. V. 51. N 7. P. 532–534.
- [3] Dominec J., Smreka L. // Solid State Comm. 1988. V. 65. N 5.
- [4] Мамалуй А.А., Полатник Л.С. // ФТТ. 1990. Т. 32. В. 10.
- [5] Пайзуллаханов М.С., Каланов М.У. // Письма в ЖТФ. 1993. Т. 19. В. 4.
- [6] Takenaka T., Noda H. // Jap. J. of Appl. Phys. 1988. V. 27. N 7. P. L1209–L1212.

Институт ядерной физики АН РУз  
Ташкент

Поступило в Редакцию  
26 сентября 1994 г.